

## 双重子共振态的么正对称性

谢淑琴 张启仁  
(北京大学)

### 摘 要

本文提出双重子共振态  $pp$ 、 $pn$ 、 $\Lambda p$ 、 $\Sigma^- p$ 、 $\Lambda\Lambda$  和  $\Xi^- p$  等填充  $SU(3)$  群 27 维表示的可能性。理论与实验符合得很好。指出了可能存在的其它双重子共振态及其性质。

### 一、引 言

实验上早已发现存在双重子共振态,如重子数  $B = 2$ , 奇异数  $S = -2$  的  $\Lambda\Lambda$  共振态<sup>[1-3]</sup>;  $B = 2$ ,  $S = -1$  的  $\Lambda p$  共振态<sup>[2-4]</sup>; 以及  $B = 2$ ,  $S = 0$  的  $pp$  和  $pn$  共振态<sup>[5]</sup> 等。而且对同一个双重子测得多个共振态,如  $\Lambda p$ , 现已确定的有  $\Lambda p(2130)$  和  $\Lambda p(2256)$  等。特别是近年来实验上又得到  $B = 2$ ,  $S = -1$  的  $\Sigma^- p$  共振态<sup>[6]</sup>, 和  $B = 2$ ,  $S = -2$  的  $\Xi^- p$  共振态<sup>[7]</sup>。对于双重子共振态已得到较多的实验数据,这对研究双重子共振态是十分有利的。

众所周知,强子具有  $SU(3)$  么正对称性<sup>[8]</sup>,核子属于它的八维表示。自然的推论是,双重子也具有么正对称性。八重态理论<sup>[9]</sup> 提出不久, Oakes<sup>[9]</sup> 就提出了双重子十重态理论,氘被填入  $SU(3)$  群的  $\overline{10}$  表示。在这一理论中  $n$ 、 $p$ 、 $\Lambda$ 、 $\Sigma$  和  $\Xi$  处于对等地位。另一方面,张禹顺<sup>[10]</sup> 等将  $p$ 、 $n$  和  $\Lambda$  当作  $SU(3)$  群的基础粒子来讨论重子素和双重子,作了不少工作。

我们根据重子八重态理论,平等地看待  $p$ 、 $n$ 、 $\Lambda$ 、 $\Sigma$  和  $\Xi$ ,通过约化  $SU(3)$  群约  $8 \otimes 8$  表示讨论了重子素填入  $SU(3)$  群高维表示的可能性<sup>[11]</sup>。本文则用这一观点来讨论双重子。由于只有平等地考虑重子八重态中的各个成员,才能考虑包含  $\Sigma$  和  $\Xi$  的双重子及其与其它双重子的对称关系。也由于双重子十重态理论的初步成果,我们认为以重子八重态为基础,用  $SU(3)$  群来分类双重子态是适宜的。由于有些双重子态(如  $pp$ 、 $pn$ 、 $\Lambda p(2256)$  等)不能填入 Oakes 的十重态,我们考虑了双重子填充  $SU(3)$  群 27 维表示的可能性。

## 二、双重子 27 重态的质量

根据 Gell-Mann 和 Neeman 提出的八重态方法<sup>[6]</sup>, 重子  $p, n, \Lambda, \Sigma^+, \Sigma^0, \Sigma^-, \Xi^0$  和  $\Xi^-$  构成  $SU(3)$  群 8 维表示.

双重子多重态应能由 8 维表示与 8 维表示的直积得到. 8 维表示与 8 维表示的直积可约化为以下不可约表示的直和:

$$8 \otimes 8 = 1 \oplus 8 \oplus 8 \oplus 10 \oplus \bar{10} \oplus 27 \quad (1)$$

此式中各个不可约表示包括的双重子态的超荷量子数  $Y$  和同位旋量子数  $I$  见表 1. 考虑双重子共振态填充其中的 27 维不可约表示的可能性.

表 1 各个不可约表示的量子数

表示	$(Y, I)$									
1	(0,0)									
8	$(1, \frac{1}{2})$	(0,1)	(0,0)	$(-1, \frac{1}{2})$						
10	$(1, \frac{3}{2})$	(0,1)	$(-1, \frac{1}{2})$	(-2,0)						
$\bar{10}$	(2,0)	$(1, \frac{1}{2})$	(0,1)	$(-1, \frac{3}{2})$						
27	(2,1)	$(1, \frac{1}{2})$	$(1, \frac{3}{2})$	(0,0)	(0,1)	(0,2)	$(-1, \frac{3}{2})$	$(-1, \frac{1}{2})$	(-2,1)	

27 重态中双重子的质量劈裂遵从 Gell-Mann-Okubo 公式, 当质量很大时这公式可写为

$$M_{YI} = M_0 + aY + b \left[ I(I+1) - \frac{Y^2}{4} \right], \quad (2)$$

式中  $I$  和  $Y$  分别为同位旋和超荷量子数,  $M_0$ ,  $a$  和  $b$  对每一给定的多重态均为常数. 利用(2)式得到双重子 27 重态中各超荷-同位旋多重态的质量公式如下:

$$M_{2,1} = M_0 + 2a + b, \quad (3)$$

$$M_{1, \frac{1}{2}} = M_0 + a + \frac{1}{2}b, \quad (4)$$

$$M_{1, \frac{3}{2}} = M_0 + a + \frac{7}{2}b, \quad (5)$$

$$M_{0,0} = M_0, \quad (6)$$

$$M_{0,1} = M_0 + 2b, \quad (7)$$

$$M_{0,2} = M_0 + 6b, \quad (8)$$

$$M_{-1, \frac{1}{2}} = M_0 - a + \frac{1}{2}b, \quad (9)$$

$$M_{-1, \frac{3}{2}} = M_0 - a + \frac{7}{2}b, \quad (10)$$

$$M_{-2,1} = M_0 - 2a + b. \quad (11)$$

表明 27 重态存在的、实验上已测到的双重子共振态如下: 分波为  ${}^1D_2$  的  $pp(2140)$  和  $pn(2100)$ <sup>[5]</sup>,  $\Lambda p(2256)$ <sup>[3]</sup>,  $\Sigma^- p(2320)$ <sup>[6]</sup>,  $\Lambda\Lambda(2365)$ <sup>[3]</sup>,  $\Xi^- p(2480)$ <sup>[7]</sup>. 从 27 重态内部波函数看出(见第三节),  $pp$  和  $pn$  具有相同的超荷  $Y = 2$  和同位旋  $I = 1$ . 按  $O_8$  破缺的  $SU(3)$  对称性看,  $pp$  和  $pn$  质量应相同, 只是由于较弱的  $I_3$  破缺, 才使它们有微小的差别. 如只考虑  $O_8$  破缺可在计算中取

$$M_{2,1} = \frac{M_{pp} + M_{pn}}{2} \equiv M_{\frac{pp+pn}{2}} = 2.12\text{GeV}.$$

又取,

$$M_{1,\frac{1}{2}} = M_{\Lambda p} = 2.256\text{GeV}, \quad M_{1,\frac{3}{2}} = M_{\Sigma^- p} = 2.320\text{GeV},$$

$$M_{0,0} = M_{\Lambda\Lambda} = 2.365\text{GeV}, \quad M_{0,1} = M_{\Xi^- p} = 2.480\text{GeV}.$$

可定出质量公式(2)式中的常数:

$$\left. \begin{aligned} M_0 &= 2.389\text{GeV}, \\ a &= -0.1532\text{GeV}, \\ b &= 0.03011\text{GeV}. \end{aligned} \right\} \quad (12)$$

将它们代入公式(3)–(11), 计算得到 27 重态的质量为:

$$M_{2,1} = 2.113\text{GeV},$$

$$M_{1,\frac{1}{2}} = 2.251\text{GeV},$$

$$M_{1,\frac{3}{2}} = 2.341\text{GeV},$$

$$M_{0,0} = 2.389\text{GeV},$$

$$M_{0,1} = 2.449\text{GeV},$$

$$M_{0,2} = 2.570\text{GeV},$$

$$M_{-1,\frac{1}{2}} = 2.557\text{GeV},$$

$$M_{-1,\frac{3}{2}} = 2.648\text{GeV},$$

$$M_{-2,1} = 2.726\text{GeV}.$$

理论计算与实验的比较见表 2.

表 2 共振态质量的理论值与实验值的比较 (单位: GeV)

质量	$M_{\frac{pp+pn}{2}}$	$M_{\Lambda p}$	$M_{\Sigma^- p}$	$M_{\Lambda\Lambda}$	$M_{\Xi^- p}$
实验值	2.12	2.256	2.320	2.365	2.480
理论值	2.113	2.251	2.341	2.389	2.449
相对偏差	0.3%	0.2%	0.9%	1%	1.3%

从表 2 可以明显地看出, 理论与实验符合得相当好. 从而可认为这些双重子确实填充了  $SU(3)$  群的 27 维表示.

### 三、波函数及分支比

重子  $p, n, \Lambda, \Sigma$  和  $\Xi$  构成  $SU(3)$  群 8 维表示. 表示空间的基是不可约张量  $\psi_i^a$ , 其中  $i, a = 1, 2, 3$ , 可用  $3 \times 3$  无迹矩阵表示成为:

$$(\phi_a^i) = \begin{pmatrix} \frac{\Sigma^0}{\sqrt{2}} - \frac{\Lambda}{\sqrt{6}} & \Sigma^+ & p \\ \Sigma^- & -\frac{\Sigma^0}{\sqrt{2}} - \frac{\Lambda}{\sqrt{6}} & n \\ \Xi^- & \Xi^0 & \frac{2\Lambda}{\sqrt{6}} \end{pmatrix}. \quad (13)$$

双重子共振态填充  $SU(3)$  群 27 维不可约表示, 表示空间的基是不可约张量<sup>[12]</sup>:

$$T_{ab}^{ij} = R_{ab}^{ij} - \frac{1}{5} (\delta_a^i D_b^j + \delta_b^j D_a^i + \delta_b^i D_a^j + \delta_a^j D_b^i) - \frac{1}{6} (\delta_a^i \delta_b^j + \delta_b^i \delta_a^j) S, \quad (14)$$

$$R_{ab}^{ij} = \phi_a^i \phi_b^j + \phi_a^j \phi_b^i + \phi_b^i \phi_a^j + \phi_b^j \phi_a^i, \quad (15)$$

$$D_a^i = \phi_j^i \phi_a^j + \phi_a^i \phi_j^i - \frac{2}{3} \delta_a^i S, \quad (16)$$

$$S = \phi_a^i \phi_a^i, \quad (17)$$

$$\delta_a^i = \begin{cases} 1 & \text{若 } i = a \\ 0 & \text{若 } i \neq a, \end{cases} \quad (18)$$

其中  $\phi_a^i$  和  $\phi_b^j$  均是 (13) 式中的矩阵元,  $i, j, a, b = 1, 2, 3$ , 并约定对每项中的重复指标求和. 显然

$$T_{ij}^{ij} = 0. \quad (19)$$

由 (13)–(19) 式可得到张量的 27 个独立的分量. 由此得双重子 27 重态内部波函数  $\Phi_{VII}$ , 如下:

$$\Phi_{211} = pp,$$

$$\Phi_{210} = \frac{1}{\sqrt{2}} (pn + np),$$

$$\Phi_{21-1} = nn,$$

$$\Phi_{1\frac{1}{2}\frac{1}{2}} = \sqrt{\frac{9}{20}} (\Lambda p + p\Lambda) - \sqrt{\frac{1}{60}} (\Sigma^0 p + p\Sigma^0) - \sqrt{\frac{1}{30}} (\Sigma^+ n + n\Sigma^+),$$

$$\Phi_{1\frac{1}{2}\frac{1}{2}} = \sqrt{\frac{9}{20}} (\Lambda n + n\Lambda) - \sqrt{\frac{1}{30}} (\Sigma^- p + p\Sigma^-) + \sqrt{\frac{1}{60}} (\Sigma^0 n + n\Sigma^0),$$

$$\Phi_{1\frac{1}{2}\frac{3}{2}} = \sqrt{\frac{1}{2}} (\Sigma^+ p + p\Sigma^+),$$

$$\Phi_{1\frac{1}{2}\frac{3}{2}} = \sqrt{\frac{1}{6}} (\Sigma^+ n + n\Sigma^+) - \sqrt{\frac{1}{3}} (\Sigma^0 p + p\Sigma^0),$$

$$\Phi_{1\frac{1}{2}\frac{1}{2}} = \sqrt{\frac{1}{3}} (\Sigma^0 n + n\Sigma^0) + \sqrt{\frac{1}{6}} (\Sigma^- p + p\Sigma^-),$$

$$\Phi_{1\frac{1}{2}\frac{3}{2}} = \sqrt{\frac{1}{2}} (\Sigma^- n + n\Sigma^-),$$

$$\begin{aligned}
\Phi_{000} &= \sqrt{\frac{27}{40}} \Lambda \Lambda + \sqrt{\frac{1}{120}} \Sigma^0 \Sigma^0 - \sqrt{\frac{3}{40}} (\mathcal{E}^- p + p \mathcal{E}^-) - \sqrt{\frac{3}{40}} (\mathcal{E}^0 n + n \mathcal{E}^0) \\
&\quad + \sqrt{\frac{1}{120}} (\Sigma^+ \Sigma^- + \Sigma^- \Sigma^+), \\
\Phi_{011} &= \sqrt{\frac{3}{10}} (\Sigma^+ \Lambda + \Lambda \Sigma^+) + \sqrt{\frac{1}{5}} (\mathcal{E}^0 p + p \mathcal{E}^0), \\
\Phi_{010} &= \sqrt{\frac{3}{10}} (\Sigma^0 \Lambda + \Lambda \Sigma^0) + \sqrt{\frac{1}{10}} (\mathcal{E}^- p + p \mathcal{E}^-) - \sqrt{\frac{1}{10}} (\mathcal{E}^0 n + n \mathcal{E}^0), \\
\Phi_{01-1} &= \sqrt{\frac{1}{5}} (\mathcal{E}^- n + n \mathcal{E}^-) + \sqrt{\frac{3}{10}} (\Sigma^- \Lambda + \Lambda \Sigma^-), \\
\Phi_{022} &= \Sigma^+ \Sigma^+, \\
\Phi_{021} &= \sqrt{\frac{1}{2}} (\Sigma^0 \Sigma^+ + \Sigma^+ \Sigma^0), \\
\Phi_{020} &= \sqrt{\frac{1}{6}} (\Sigma^+ \Sigma^- + \Sigma^- \Sigma^+) - \sqrt{\frac{2}{3}} \Sigma^0 \Sigma^0, \\
\Phi_{02-1} &= \sqrt{\frac{1}{2}} (\Sigma^- \Sigma^0 + \Sigma^0 \Sigma^-), \\
\Phi_{02-2} &= \Sigma^- \Sigma^-, \\
\Phi_{-1\frac{1}{2}\frac{1}{2}} &= \sqrt{\frac{9}{20}} (\mathcal{E}^0 \Lambda + \Lambda \mathcal{E}^0) - \sqrt{\frac{1}{30}} (\mathcal{E}^- \Sigma^+ + \Sigma^+ \mathcal{E}^-) + \sqrt{\frac{1}{60}} (\mathcal{E}^0 \Sigma^0 + \Sigma^0 \mathcal{E}^0), \\
\Phi_{-1\frac{1}{2}\frac{-1}{2}} &= \sqrt{\frac{9}{20}} (\mathcal{E}^- \Lambda + \Lambda \mathcal{E}^-) + \sqrt{\frac{1}{60}} (\mathcal{E}^- \Sigma^0 + \Sigma^0 \mathcal{E}^-) \\
&\quad - \sqrt{\frac{1}{30}} (\mathcal{E}^0 \Sigma^- + \Sigma^- \mathcal{E}^0), \\
\Phi_{-1\frac{3}{2}\frac{3}{2}} &= \sqrt{\frac{1}{2}} (\Sigma^+ \mathcal{E}^0 + \mathcal{E}^0 \Sigma^+) \\
\Phi_{-1\frac{3}{2}\frac{1}{2}} &= \sqrt{\frac{1}{3}} (\Sigma^0 \mathcal{E}^0 + \mathcal{E}^0 \Sigma^0) + \sqrt{\frac{1}{6}} (\mathcal{E}^- \Sigma^+ + \Sigma^+ \mathcal{E}^-), \\
\Phi_{-1\frac{3}{2}\frac{-1}{2}} &= \sqrt{\frac{1}{6}} (\mathcal{E}^0 \Sigma^- + \Sigma^- \mathcal{E}^0) - \sqrt{\frac{1}{3}} (\Sigma^0 \mathcal{E}^- + \mathcal{E}^- \Sigma^0), \\
\Phi_{-1\frac{3}{2}\frac{-3}{2}} &= \sqrt{\frac{1}{2}} (\mathcal{E}^- \Sigma^- + \Sigma^- \mathcal{E}^-), \\
\Phi_{-211} &= \mathcal{E}^0 \mathcal{E}^0, \\
\Phi_{-210} &= \sqrt{\frac{1}{2}} (\mathcal{E}^- \mathcal{E}^0 + \mathcal{E}^0 \mathcal{E}^-), \\
\Phi_{-21-1} &= \mathcal{E}^- \mathcal{E}^-,
\end{aligned} \tag{20}$$

$SU(3)$  群 27 维不可约表示的权图见图 1.

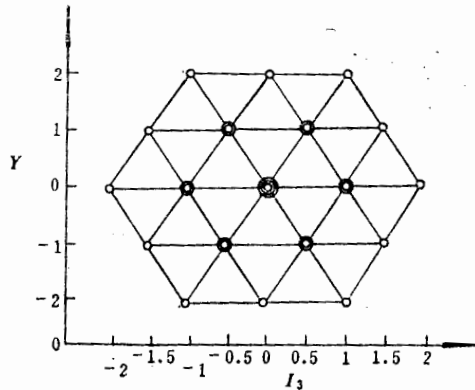


图 1 27 维表示的权图

利用双重子 27 重态内部波函数(20)式,可计算各种衰变方式的分支比,在计算中还应考虑相空间大小.  $\mathbf{p}$  到  $\mathbf{p} + d\mathbf{p}$  内的轨道状态数为

$$dn = \frac{V p^2 dp d\Omega}{h^3} \quad (21)$$

由动能  $E = \frac{1}{2} \mu v^2$ , 得到  $p dp = \mu dE$  ( $\mu$  是折合质量). 故

$$\begin{aligned} p^2 dp &= \sqrt{2\mu E} \mu dE \\ &= \sqrt{2} \mu^{3/2} E^{1/2} dE \\ &= \sqrt{2} A_{ij} dE, \end{aligned}$$

其中,

$$\begin{aligned} A_{ij} &= \mu^{3/2} E^{1/2} \\ &= \left( \frac{m_i m_j}{m_i + m_j} \right)^{3/2} (m_{ij} - m_i - m_j)^{1/2}, \end{aligned}$$

$m_{ij}$  是共振态的质量,  $m_i$  是  $i$  重子的静止质量,  $m_j$  是  $j$  重子的静止质量. 分支比

$$R_{ij} = \frac{|c_{ij}|^2 A_{ij}}{\sum_{i'j'} |c_{i'j'}|^2 A_{i'j'}}, \quad (22)$$

式中  $c_{ij}$  是  $SU(3)$  群的 CG 系数,可由波函数(20)中读得.

由(22)式计算得到的双重子 27 重态各种衰变方式的分支比见表 3—5.

从表 3 和表 4 所列分支比,可知我们填充 27 重态的方式是恰当的. 如共振态  $\Phi_{\frac{1}{2} \frac{1}{2}}$  和  $\Phi_{\frac{1}{2} \frac{-1}{2}}$  都含  $\Sigma^- p$  道, 分支比分别为 33% 和 5.5%, 前者比后者大得多. 我们将实验上测到的  $\Sigma^- p(2320)$  填入了前者, 即  $\Phi_{\frac{1}{2} \frac{1}{2}}$  态. 又如, 我们将实验上测到的  $\Sigma^- p(2480)$  填入  $\Phi_{010}$  态, 而没有填入  $\Phi_{000}$  态. 这无论从  $\Sigma^- p(2480)$  与  $\Lambda\Lambda(2365)$  (填入  $\Phi_{000}$ ) 的明显质量差来看, 还是从  $\Sigma^- p$  道在  $\Phi_{010}$  和  $\Phi_{000}$  中的分支比(前者比后者大得多)来看都

表 3 分支比 (I)

共振态 $\Phi_{YII_3}$	$\Phi_{\frac{1}{2}^{\frac{1}{2}}}$			$\Phi_{\frac{1}{2}^{\frac{3}{2}}}$			$\Phi_{\frac{3}{2}^{\frac{1}{2}}}$		$\Phi_{\frac{3}{2}^{\frac{3}{2}}}$	
质量 $M_{YI}$	2.251GeV			2.251GeV			2.341GeV		2.341GeV	
衰变方式	$\Delta p$	$\Sigma^0 p$	$\Sigma^+ n$	$\Delta n$	$\Sigma^- p$	$\Sigma^0 n$	$\Sigma^+ n$	$\Sigma^0 p$	$\Sigma^0 n$	$\Sigma^- p$
分支比 $R$	0.92	0.028	0.056	0.93	0.055	0.019	0.33	0.67	0.67	0.33

表 4 分支比 (II)

共振态 $\Phi_{YII_3}$	$\Phi_{000}$					$\Phi_{011}$		$\Phi_{010}$			$\Phi_{01-1}$	
质量 $M_{YI}$	2.389GeV					2.449GeV		2.449GeV			2.449GeV	
衰变方式	$\Lambda\Lambda$	$\Sigma^0 \Sigma^0$	$\Xi^- p$	$\Xi^0 n$	$\Sigma^+ \Sigma^-$	$\Sigma^+ \Lambda$	$\Xi^0 p$	$\Sigma^0 \Lambda$	$\Xi^- p$	$\Xi^0 n$	$\Xi^- n$	$\Sigma^- \Lambda$
分支比 $R$	0.71	0.0014	0.14	0.14	0.002	0.58	0.42	0.58	0.21	0.21	0.42	0.58

表 5 分支比 (III)

共振态 $\Phi_{YII_3}$	$\Phi_{020}$		$\Phi_{-1^{\frac{1}{2}}^{\frac{1}{2}}}$			$\Phi_{-1^{\frac{3}{2}}^{\frac{1}{2}}}$			$\Phi_{-1^{\frac{1}{2}}^{\frac{3}{2}}}$		$\Phi_{-1^{\frac{3}{2}}^{\frac{3}{2}}}$	
质量 $M_{YI}$	2.570GeV		2.557GeV			2.557GeV			2.648GeV		2.648GeV	
衰变方式	$\Sigma^+ \Sigma^-$	$\Sigma^0 \Sigma^0$	$\Xi^0 \Lambda$	$\Xi^- \Sigma^+$	$\Xi^0 \Sigma^0$	$\Xi^- \Lambda$	$\Xi^- \Sigma^0$	$\Xi^0 \Sigma^-$	$\Sigma^0 \Xi^0$	$\Xi^- \Sigma^+$	$\Xi^0 \Sigma^-$	$\Xi^- \Sigma^0$
分支比 $R$	0.33	0.67	0.93	0.044	0.023	0.93	0.022	0.045	0.67	0.33	0.33	0.67

是合适的。

由衰变方式和分支比还可以看出,凡是实验上测到的双重子,或者属于所填态中分支比最大的道(如  $\Delta p(2256)$ ,  $\Lambda\Lambda(2365)$ ),或者是该态唯一含带电粒子的道(如  $\Sigma^- p(2320)$ ,  $\Xi^- p(2480)$ )。这也表明从理论上得到的衰变方式和分支比与实验结果相符。

#### 四、讨 论

从表 2 看出,理论计算的五个双重子共振态的质量都与实验符合得很好。相对偏差最小的只有 0.2%,最大的也只有 1.3%。这强烈提示了双重子共振态  $pp(2140)$ 、 $pn(2100)$ 、 $\Delta p(2256)$ 、 $\Sigma^- p(2320)$ 、 $\Lambda\Lambda(2365)$  和  $\Xi^- p(2480)$  等确定填充了  $SU(3)$  群的 27 维表示,按(20)式构成双重子 27 重态。根据实验上测到的  $pp(2140)$  和  $pn(2100)$  是  $2^+$  态还可推知,这个 27 重态是  $2^+$  态。

由 27 重态理论得到的共振态的各种衰变方式及相应的分支比表明,凡是实验上测到的双重子,或者属于所填态中分支比最大的道,或者是该态唯一含带电粒子的道。这就进一步表明将它们填入 27 重态是合适的,这是理论与实验相符的旁证。

于是我们知道了双重子的两个  $SU(3)$  多重态。一个是[9]中提出的十重态,它是  $1^+$  态。其成员是:  $Y=2, I=0$  的  $pn(1876)$  (氘);  $Y=1, I=\frac{1}{2}$  的  $\Sigma^- p(2130)$  等;

尚未发现的  $Y = 0, I = 1$  共振态, 质量是  $2357\text{MeV}$ ;  $Y = -1, I = \frac{3}{2}$  共振态, 质量是  $2564\text{MeV}$ . 另一个是本文提出的 27 重态, 它是  $2^+$  态. 其成员是:  $Y = 2, I = 1$  的  $pp$  (2140) 和  $pn$  (2100);  $Y = 1, I = \frac{1}{2}$  的  $\Lambda p$  (2256);  $Y = 1, I = \frac{3}{2}$  的  $\Sigma^- p$  (2320);  $Y = 0, I = 0$  的  $\Lambda\Lambda$  (2365);  $Y = 0, I = 1$  的  $\Xi^- p$  (2480) 等; 以及尚未发现的一些共振态.

最后, 从第二节的计算结果可知, 应存在以下双重子共振态:  $Y = 0, I = 2$  的共振态, 质量是  $2570\text{MeV}$ ;  $Y = -1, I = \frac{1}{2}$  的共振态, 质量是  $2557\text{MeV}$ ;  $Y = -1, I = \frac{3}{2}$  的共振态, 质量是  $2648\text{MeV}$ ;  $Y = -2, I = 1$  的共振态, 质量是  $2726\text{MeV}$ . 从第三节列举的衰变方式和相应的分支比, 指示了形成和观察这些共振态的途径, 以及观察已知共振态的其它方法. 这些都是进一步检验双重子 27 重态理论的手段. 此外, 还可由衰变产物的角分布来检验这个 27 重态的自旋和宇称是否是  $2^+$ .

### 参 考 文 献

- [1] P. Beilliere et al., *Phys. Lett.*, **39B**(1972), 671.
- [2] B. A. Shahbazian et al., *Nucl. Phys.*, **B53**(1973), 19.
- [3] A. Yokosawa Proc. 19th Int. Conf. High Energy Physics, Tokyo, 1978.
- [4] D. P. Goyal and A. V. Sodhi, *Phys. Rev.*, **D18**(1978), 948.
- [5] Y. Nambu, Proc. 19th Int. Conf. High Energy Physics, Tokyo, 1978.
- [6] D. P. Goyal et al., *Prog. Theor. Phys.*, **64**(1980), 700.
- [7] D. P. Goyal et al., *Phys. Rev.*, **D21** (1980), 607.
- [8] M. Gell-Mann, *Phys. Rev.*, **125**(1962), 1067;  
Y. Neeman, *Nucl. Phys.*, **26**(1961), 222.
- [9] R. J. Oakes, *Phys. Rev.*, **131** (1963), 2239.
- [10] 张禹顺、王淮淮、李扬国、陈晓天、阮图南, 高能物理与核物理, **5**(1981), 149.
- [11] 张启仁、谢淑琴, 高能物理与核物理, **6**(1982), 732.
- [12] T. D. Lee, *Particle Physics and Introduction to Field Theory* (Amsterdam, 1981), p. 258.

## THE UNITARY SYMMETRY IN DIBARYON RESONANT STATES

XIE SHU-QIN    ZHANG QI-REN  
(Peking University)

### ABSTRACT

Possible filling up of 27 dimensional representation of  $SU(3)$  by  $pp, pn, \Lambda p, \Sigma^- p, \Lambda\Lambda$  and  $\Xi^- p$  dibaryon resonant states is proposed. The theoretical results agree with the experimental ones very well. Possible existence of other dibaryon resonant states as well as their characteristics are discussed.